

# 砂質土의 粒徑이 물유리계 藥液注入固結土의 強度 및 剛性에 미치는 영향

The Influence of Grain Size of Sandy Soil on the  
Strength and Stiffness of Silicate-Grouted Soil.

鄭 亨 植\*

Chung, Hyung-Sik

千 柄 植\*\*

Chun, Byung-Sik

柳 在 逸\*\*\*

Ryu, Jae-Il

## Abstract

One of the main objectives of researches for the chemical grouting is to assess the changes in soil properties caused by injection of chemical grout.

Especially the changes in the strength properties of soils, such as elastic modulus, shear modulus of ground due to injection of chemical grout has drawn our attention. Since the specific surface changes with variation in the grain size of sandy soil, the influence of grain size of sandy soil on the strength and stiffness of silicate-grouted soil was investigated in this study by carrying out uniaxial and triaxial compression tests.

It was found that the strength and stiffness of grouted soil increased as the grain size of sandy soil decreases, the possibility of estimating the strength of grouted soil was confirmed through the study of relationship between specific surface of sandy soil and the strength of chemical gel.

## 要 旨

藥液注入固結土에 대한 연구의 주 목적중 하나는 약액주입으로 인한 土性變化를 연구하는 것이다. 특히 약액주입으로 인한 흙의 彈性係數나 剪斷係數와 強度特性의 변화는 우리의 관심을 끌어왔다. 본 연구에서는 粒徑에 따라 比表面積이 변화하므로 이에 의한 영향을 究明하고자 未固結土와 固結土에 대한 일축압축 및 삼축압축시험을 실시하여 砂質土의 粒徑이 물유리계약액고결토의 強度 및 刚性에 미치는 영향에 대해 고찰하였다.

연구결과 試料土의 粒徑이 작을수록 고결토의 強度 및 刚性가 증대되는 것이 발견되었으며, 모래의 比表面積과 약액겔강도와의 相關性을 究明함으로써 고결토의 強度推定의 가능성을 확인하였다.

\* 正會員, 漢陽大學校 工科大學 土木工學科, 教授

\*\* 正會員, 漢陽大學校 工科大學 土木工學科, 副教授

\*\*\* 正會員, 漢陽大學校 大學院 土木工學科, 博士課程

## 1. 序 論

물유리계 혼탁액형 약액은 浸透注入이 어려우므로 脈狀注入이 되어 地盤隆起 및 地盤局部破壞를 야기시키는 등 여러 문제점을 안고 있음에도 불구하고, 國內에서는 諸外國에서처럼 地盤補強用으로 용액형 약액을 많이 사용하지 않고 시멘트를 병용한 혼탁액형 약액을 注入材로 주로 사용하고 있다.

약액주입공법<sup>1,2,3,4)</sup>의 경제면으로 보아도 앞으로 용액형 약액주입고결토에 대한 연구가 많이 이루어 져야 할 것이다.

약액주입공법은 약액의 浸透注入이 용이한 砂質地盤을 대상으로 하는 것이 일반적이다. 따라서 본 연구에서 砂質土를 시료토로 사용하여 砂質土의 粒徑이 물유리계용액형약액으로 고결된 모래의 強度舉動特性에 미치는 영향을 검토하기 위하여 모래의 粒徑을 변화시켜서 일축압축 및 삼축압축시험을 하였다.

지금까지의 연구결과에 의하면 물유리계약액으로 고결된 모래의 強度舉動은 內部摩擦角은 거의 변화가 없으나 粘着力이 증가되므로 고결토의 강도가 增大되는 것<sup>5,6,7,8,9)</sup>으로 알려져 있다.

그런데 고결토의 접착력증가는 주로 약액의 젤강도 및 시료토의 粒徑, 密度 등에 따라 좌우되는데, 본 연구에서는 이들과 고결토강도와의 상관성을 검토하여 시료토의 임경이 고결토의 강도 및 강성에 미치는 영향에 대해 고찰하고자 한다. 또한 시료토의 比表面積과 약액젤 강도와의 상관성을 究明함으로서 C. Caron의 제안식<sup>10,11)</sup>에 의한 고결토의 強度推定의 가능성을 모색하고자 한다.

물유리계 약액주입공법은 遮水 및 強度増大를 목적으로 하는 地盤改良工法으로, 이러한 목적을 위해 많은 연구를 해왔음에도 強度特性 또는 固結地盤舉動에 대한 자료가 실용적인 면에서 볼 때 상대적으로 부족한 실정이다.

따라서 본 연구에서는 약액주입공법의 설계 및 시공에 필요한 자료의 제공에 연구의 주 목적을 두었다.

## 2. 注入材로서의 기본적 성질

地盤注入材는 地盤強化 및 遮水에 필요한 粘性, 遮水性 및 固結性등의 다음과 같은 기본적 성질을 구비해야 한다.

### (1) 粘 性

일반적으로 注入材를 砂質土에 浸透시키는 경우, 주입재의 粘性이 浸透性을 좌우하게 된다. 주입재의 粘性에 기대되는 것은 初期粘度가 낮고 젤화(gelation) 직전에 低粘度를 유지하며 젤화 時에 粘度가 급격하게 상승하는 성질을 갖는 것이 유리하며, 보통 표준배합시 초기첨도는 2~3cps 정도가 좋다.<sup>12)</sup>

### (2) 遮 水 性

설계조건으로 配合한 注入材는 注入管을 통하여 地盤내에 주입되면 젤화하기까지는 地下水 등에 의하여 주입재가 希釋되어 젤화時間이 지연되는데, 그 지연정도는 硬化劑의 종류에 따라 다르다.

알칼리계에서는 酸性反應劑가 더욱 많은 영향을 받기 쉬운데, 그 중에서도 重炭酸鹽보다 작은 소량으로 젤시간이 길어지는 酸度가 강한 磷酸 및 重硫酸鹽쪽이 더욱 현저하며, 1.4 배 정도의 희석으로 전혀 젤화가 이루어 지지 않는 것도 있다. 그러나 酸性反應劑에 有機硬化劑를 가하면 젤시간의 지연을 줄일 수 있다.

비알칼리계는 活性실리카졸로서 젤시간이 지연되기 어려우나 5~6 배 정도로 희석되어도 화학반응능력을 잃어버리지 않는 성질을 갖고 있다.

### (3) 固 結 性

주입재의 固結상태는 약액젤(homo gel)과 固結砂(sand gel)가 있는데, 전자는 혼탁액형약액을 粘性土에 剖裂注入<sup>13,14)</sup>하는 경우 그리고 후자는 용액형약액을 砂質土에 浸透固結<sup>13,14)</sup>시키는 경우로 구분된다.

일반적으로 용액형약액주입고결토에서 Homo-gel 강도가 클수록 Sand-gel은 증가하는 상관관

Table 1. Remolding method physical properties of ungrouted specimen

sample			loose specimen ( $e=0.74$ )			dense specimen ( $e=0.65$ )		
			$r_d$ (g/cm <sup>3</sup> )	$r_t$ (g/cm <sup>3</sup> )	$e_{ave.}$	$r_d$ (g/cm <sup>3</sup> )	$r_t$ (g/cm <sup>3</sup> )	$e_{ave.}$
No. I	0.84~2.00	2.65	3.0	1.52	0.74	1.60	1.65	0.65
No. II	0.42~0.84	2.65	3.0	1.52	0.74	1.60	1.65	0.65
No. III	0.25~0.42	2.65	3.0	1.52	0.74	1.60	1.65	0.65

계를 보이고 있다. 그리고 무기계약액에 비해 유기계약액의 Sand-gel 강도가 더 크며, 강도가 클수록 变形係數는 크게 되고 变形은 작아지는 성질을 갖고 있다.

### 3. 實 驗

#### 3.1 시료토 및 사용약액

본 연구에 사용한 시료토는 깨끗한 한강모래를 체분석하여 시료토의 粒徑을 Table. 1과 같이 3종류(No. I, No. II, No. III)로 구분하여 사용하였다.

사용약액은 물유리계용액형으로 硅酸鹽(silicate)농도를 30%, 50%, 70%로 하고 결化時間은 4분내외로서 동일하게 하였다. 그리고 약액의 配合示方例는 Table 2와 같으며 물유리수용액과 硬化劑水溶液의 용적배합비는 1:1로 하였다.

#### 3.2 공시체제작 및 양생

공시체제작은 P.V.C 몰드( $\phi 3.5\text{cm} \times H7.0\text{cm}$ ) 내에 所定의 약액을 넣고 시료토를 몰드에 Table 1과 같이 느슨한 상태( $e \approx 0.74$ )와 조밀한 상태( $e \approx 0.65$ )로 구분하여 제작하였다. 이때, P.V.

Table 2. Example of normal mix proportion of chemical grout

description	silicate content (%)			
		30	50	70
water-glass solution	water-glass No. 3 (cc)	60	100	140
	water (cc)	140	100	60
hardener solution	subjectivity(g)	14	15	16
	accelerant (g)	10	9	8
	water (cc)	190	191	192

C 몰드 밑부분에 겹착테프를 붙여서 사용하였으며 조밀한 공시체는 유리깔대기로 시료토 108g을 넣으면서 몰드자체를 철판에 낙하시켜서 제작하였고, 느슨한 공시체는 102g을 유리깔대기로 몰드에 서서히 넣어서 제작하였다.

공시체養生은 水中養生으로 하였으며 水溫은 18~20°C로 하였다.

#### 3.3 실험방법

실험은 변형제어(strain control) 방식의 壓密排水三軸壓縮軸시험 및 삼축시험기를 이용하여 배수조건의 일축압축시험을 하였다. 실험중 변형속도는 0.2%/min로 하였고 구속응력은 0.5, 1.0, 1.5 kg/cm<sup>2</sup>로 하였다.

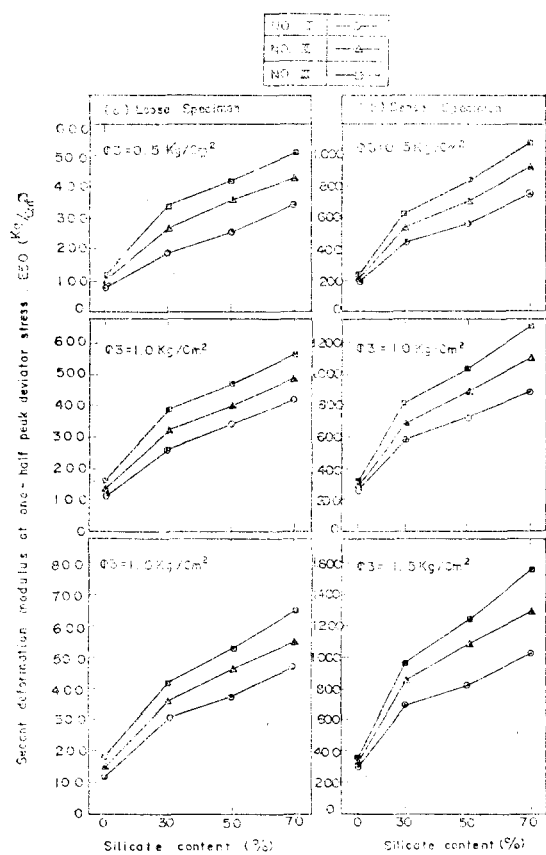
### 4. 실험결과의 分析 및 考察

#### 4.1 고결토의 剛性特性

흙에 대한 Young 계수는 일반적으로 割線係數(second modulus)를 뜻하며 土質工學에서 安全係數를 보통 2~3을 취하므로 이 係數를 취한 응력의 크기가 실제로 적용하는 응력범위이므로 最高應力(peak stress)의 1/3~1/2을 취한 割線係數  $E_{50}$ 을 주로 사용한다.

따라서 본 연구에서도 Fig. 1과 같이 시료토의 粒徑·密度 및 硅酸鹽농도에 따른  $E_{50}$ 을 구하여 비교검토하였다.

검토결과, 시료토의 입경이 작을수록 고결토의 彈性變形係數  $E_{50}$ 은 증가하는 경향을 보였으며, 시료토 No. III는 No. I 보다 60~80%정도 더 크게 나타났다. 또한 규산염농도 70%의 경우 未固結土에 비해 4~5배의 증가를 보이는 등 약액농도가 클수록 그리고 시료토가 조밀할수록  $E_{50}$ 이 증대되는 경향은 이미 예측된 바와 같다.



**Fig. 1** The relationship between silicate content and elastic modulus of grouted soil with different grain size of sands.

No. III 시료의 느슨한 고결토에서 시료토의 포아손비를 0.3, 고결토의 포아손비를 0.5로 하여 고결토의剪斷係數(剛性係數;  $G$ )를 (1)式에 의해 구했으며, Fig. 2와 같다.

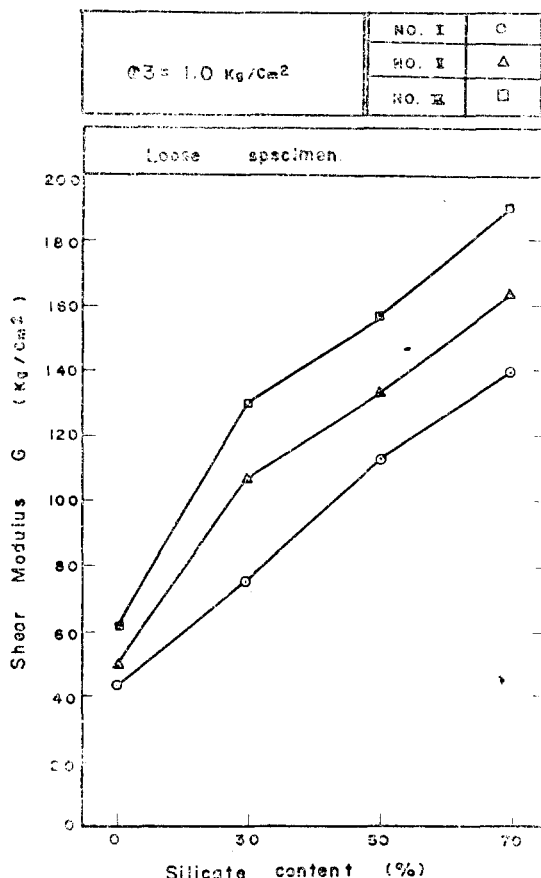
$$G = \frac{E}{2(1+\nu)} \quad \dots \dots \dots \quad (1)$$

여기서,  $G$ : 剪斷係數( $\text{kg}/\text{cm}^2$ )

$E$ : 彈性變形係數( $E_{50}$ ), ( $\text{kg}/\text{cm}^2$ )

유 : 포아숑비

구속응력이  $1.0 \text{kg/cm}^2$ 인 경우 탄성조건에서 시료토의 입경에 따른 고결토의 전단계수와 탄성변형계수 및 포아손비는 식 (1)과 같은 관계를 갖게되며, Fig. 2에서와 같이 固結土의剪斷係數는 시료토 No. I, No. II, No. III 순으로 크게 나타난다.



**Fig. 2** The relationship between silicate content and shear modulus of grouted soil with different grain size of sands.

이상으로 부터 시료토가 細粒일수록 고결토의  
變形係數 및 剪斷係數가 증가되어 剛性이 증대  
됨을 알 수 있다.

Fig. 1에서 구속응력이 증가될수록  $E_{50}$ 은 크게 나타났는데, 이의 관계를 Fig. 3에서 더욱 잘 보여주고 있으며, 구속응력에 따른  $E_{50}$ 의 증가는 다음의 설명과 같다.

變形係數가 커질수록 식(1)과 같이 剪斷係數는 크게 되고 有效應力은 拘束應力이 커짐에 따라 증가된다. 따라서 剪斷係數는 有效應力와 圖數關係에 있기 때문에 결국 구속응력이 커짐에 따라 변형계수가 증가되는 것으로 판단된다.

#### 4.2 고경도의 强度特性

Fig. 4는 구속응력 및 약액농도에 따른 고결

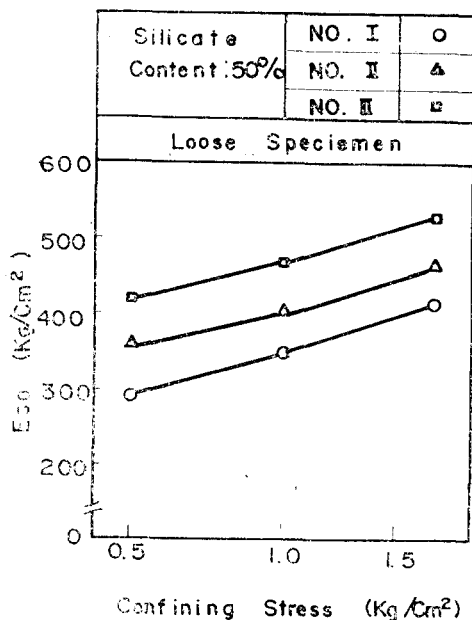


Fig. 3 The relationship between confining stress and elastic modulus of grouted soil with different grain size of sands.

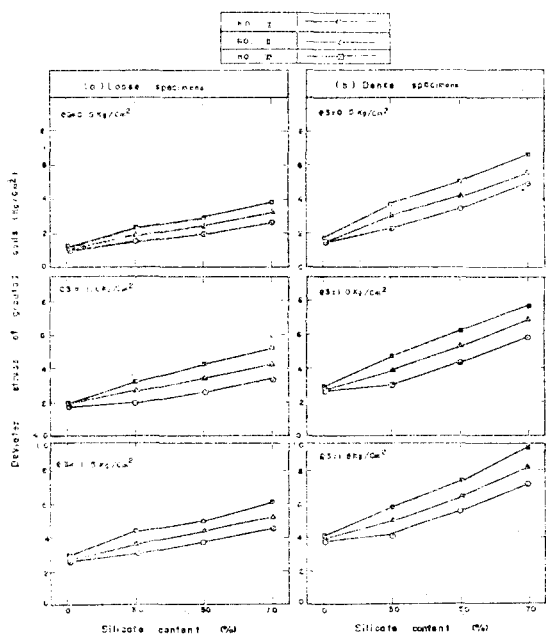


Fig. 4 The relationship between silicate content and deviator stress at failure of grouted soil with different grain size of sands.

토의 파괴시 축차응력을 시료토의 입경별로 나타낸 것이며, 시료토의 입경이 작을수록 파괴시 축차응력이 크게 나타나는 경향을 보였다. 따라서 시료토의 입경이 고결토의 강도에 영향을 미치고 있음을 알 수 있다.

그리고 고결토의 강도에 대한 약액농도의 효과는 Fig. 4에서와 같이 약액농도에 좌우되는데 그의 증가비는 사용약액의 규산염함유량에 의한 약액의 化學反應性에 달려있는 것으로 판단된다.

Fig. 5는 森, 佐藤이 고결토의 접착력( $C$ )과 약액의 접착력( $C_0$ )의 관계를 나타낸 것으로,  $C_s$ 는 土粒子의 형상과 밀도등에 영향을 받는 構造性粘着力<sup>17,18)</sup>이며  $C'$ 는 약액겔의 粘着力의 크기와 농도에 의해 增減되는 薄膜粘着力<sup>17,18)</sup>이다. 따라서 고결토의 접착력( $C$ )은 구조성접착력( $C_s$ )과 박막접착력( $C'$ )의 합으로 나타난다.

시료토의 입경이 작을수록 그리고 조밀할수록 평균입경은 작아지므로 式(2)에서 膜의 두께指數( $H$ )<sup>16)</sup>는 작아지게 된다.

$$H = \frac{D \cdot a}{6} \times \frac{r_1}{r_2} \quad \dots \dots \dots \quad (2)$$

여기서,  $H$ : 膜의 두께指數(mm)

$D$ : 시료토의 평균입경(mm)

$a$ : 固結土中の 약액의 시료토에 대한 중량비(%)

$r_1$ : 시료토 낱입자의 단위체적중량(g/cm<sup>3</sup>)

$r_2$ : 약액의 단위체적중량(g/cm<sup>3</sup>)

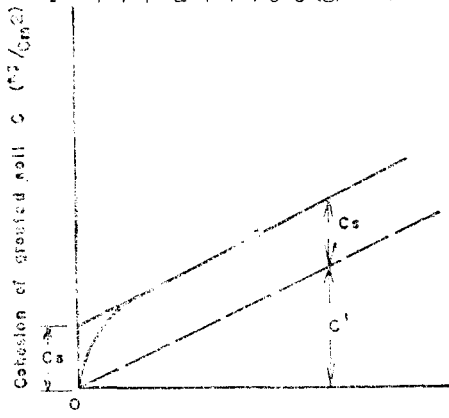


Fig. 5 The relationship between cohesion of chemical gel ( $C_0$ ) and cohesion of grouted soil ( $C$ ).

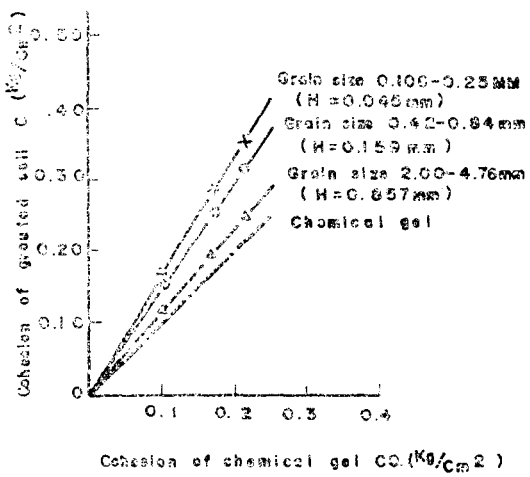


Fig. 6 The relationship between cohesion of chemical gel ( $C_0$ ) and cohesion of grouted soil ( $C$ ) with different grain size of sands.

膜의 두께지수가 작아지면 약액겔의 접착력 ( $C_0$ )에 대한 고결토의 접착력비율 ( $C/C_0$ )은 커지게 되므로(Fig. 5, 6) 고결토의 접착력 ( $C$ )은 증가되어 결국, 고결토의 강도가 증대된다.

固結土의 강도에 미치는 시료토의 입경과 밀도의 영향은 시료토의 입경이 작을수록 그리고 시료토가 조밀할수록 Fig. 4에서와 같이 고결토의 강도가 증대되었는데, 이는 이상의 설명으로부터 알 수 있다.

Fig. 7은 시료토별 약액농도에 따른 고결토의 접착력을 나타낸 것으로, 시료토의 입경이 작을수록 그리고 조밀할수록 고결토의 접착력이 크게 나타났는데, 그 이유는 다음과 같다.

시료토의 입경이 작을수록 고결토의薄膜粘着力이 커지기 때문에 고결토의 강도가 증대되는 것으로 판단된다. 또한 시료토가 조밀한 경우가 느슨한 경우보다 강도가 더 크게 나타난 것은 조밀한 경우가 土粒子의 構造性粘着力이 느슨한 경우보다 더 크기 때문으로 생각된다.

Fig. 8은 고결토의 파괴시의 다이러던시係數<sup>19, 20)</sup> ( $D_f = \varepsilon_e / \varepsilon_a$ )를 나타낸 것으로, 시료토의 입경이 작을수록 그리고 약액농도가 클수록 파괴시의 다이러던시係數가 큰 경향으로 나타났다.

#### 4.3 固結土의 變形係數 및 強度의 추정

##### 4.3.1 變形係數의 추정.

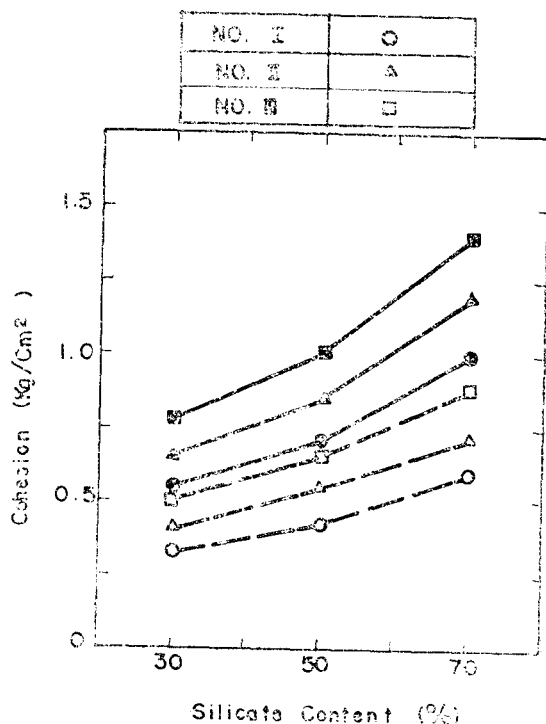


Fig. 7 The relationship between silicate content and cohesion of grouted soil with different grain size of sands.

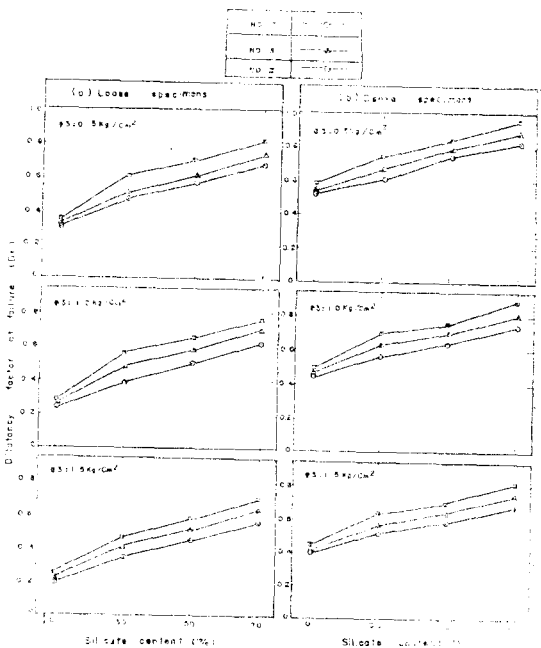


Fig. 8 The relationship between silicate content and dilatancy factor at failure of grouted soil with different grain size of sand.

Fig. 1에서 각 구속응력하의 모든 고결토의 파괴시축차응력과 그에 대응되는  $E_{50}$ 을 나타낸 것이 Fig. 9이다. Fig. 9에서 느슨한 상태와 조밀한 상태를 구별하여 나타낸 것으로, 고결토의 파괴시축차응력이 클수록 변형계수가 더 큰 경향을 보였다.

많은 실내 및 현장시험의 자료를 축적한다면, Fig. 9 와 같은 고결토의 강도와 변형계수와의 상관관계로 부터 개략적인 고결토의 변형계수를 추정할 수 있을 것이다.

따라서 약액주입의 설계 및 시공에 앞서 미리 이들 欲을 추정할 수 있게 된다면 본 공법적용의 타당성검토 및 기본계획등에 유익한 자료를 제공할 수 있을 것으로 사료된다.

#### 4.3.2 일축압축강도의 추정

시료토의 比表面積과 약액겔강도와의 상관관계로 부터 고결토의 강도를 구하기 위한 C. Carron의 실험식<sup>10, 11)</sup>은 式 (3)과 같다.

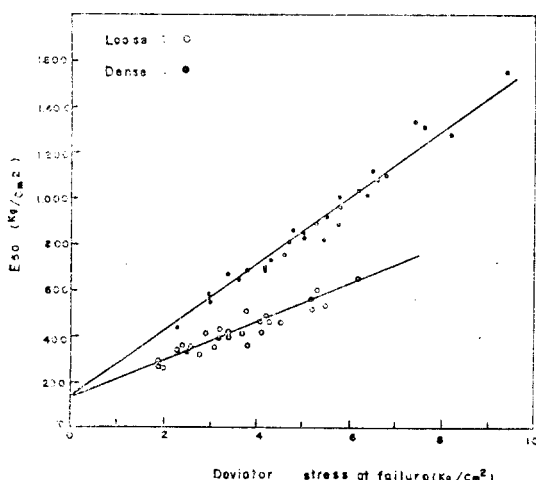
여기서,  $RS$ : 고결 토의 일축 압축강도 ( $\text{kg}/\text{cm}^2$ )

$RG$  : 약액계의 일축압축강도 ( $\text{kg}/\text{cm}^2$ )

$K$  : 약액겔 강도에 좌우되는 係數

$S$  : 시료 토의 比表面積 ( $\text{cm}^2/\text{g}$ )

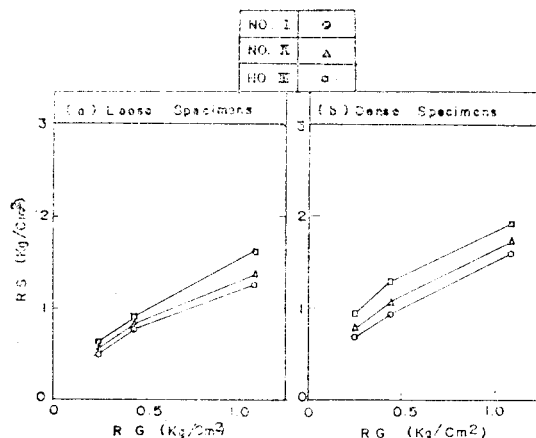
(3) 武을 다시 쓰면 다을과 같다.



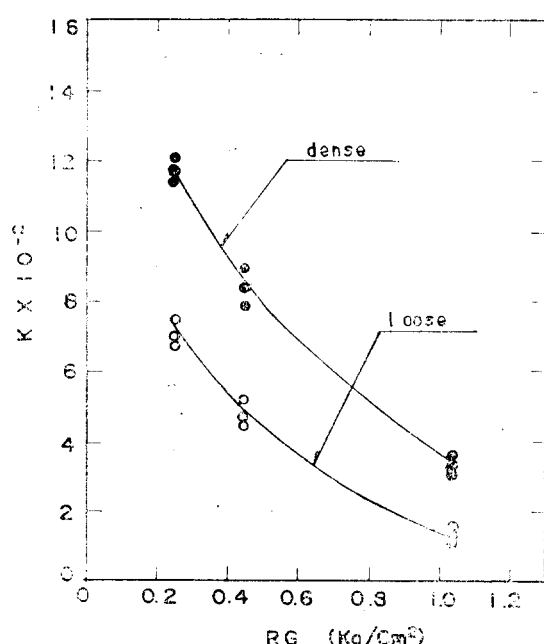
**Fig. 9** The relationship between deviator stress at failure and elastic modulus of grouted soil from fig. 1.

본 연구에 사용한 시료로 No. I, No. II, No. III의 比表面積  $S(\text{cm}^2/\text{g})$ 는  $S(\text{No. I})=210$ ,  $S(\text{No. II})=350$ ,  $S(\text{No. III})=470$ 이며 그리고 액질의 일축압축강도 ( $RG$ )는 30% 농도에서  $0.23\text{kg}/\text{cm}^2$ , 50% 농도에서  $0.46\text{kg}/\text{cm}^2$ , 70% 농도에서  $1.07\text{kg}/\text{cm}^2$ 이다.

그리고 약액겔의 일축암축강도( $RG$ )와 그에



**Fig. 10** The relationship between uniaxial strength of chemical gel ( $RG'$ ) and uniaxial strength of grouted soils ( $RS$ )



**Fig. 11** The relationship between uniaxial strength of chemical gel ( $RG$ ) and coefficient  $K$ .

따른 고결토의 일축압축강도( $RS$ )와의 관계는 Fig. 10과 같다.

따라서 (4) 式에 Fig. 10 으로 부터 동일조건의 각각의 값을 대입하여  $K$ 를 구했으며, 이를 그림으로 나타낸 것이 Fig. 11 이다. Fig. 11에서 와 같이 약액겔강도에 좌우되는 계수  $K$ 를 표시하여 보았다.

본 연구 범위의 실험결과에 의해 나타난 Fig. 11은 실험자료가 적은 편이어서 전반적인 경향을 파악하기는 어려우나 공시체의 밀도 및 약액겔의 강도에 따른 계수  $K$ 의 경향은 뚜렷하게 나타났다. 따라서 C. Caron의 제안식의 이용가능성의提高는 고결토에 대한 많은 실험자료의 축적에 달려있음을 알 수 있다.

앞으로 시료토의 입경·밀도 그리고 약액의 종류·농도에 따른 고결토의 강도에 대한 많은 실험자료로 부터 계수  $K$ 를 보완하고 수정한다면 고결토의 강도예측을 일반화하여 이용할 수 있을 것으로 사료된다.

## 5. 結論

1. 시료토의 粒徑이 작을수록 고결토의 變形係數와 剪斷係數가 증가되어 고결토의 剛性이 증대되는 것으로 나타났다.

2. 시료토의 粒徑이 작을수록 고결토의 강도가 증대되는데, 이는 고결토의 薄膜粘着力의 증가로 인한 때문으로 판단된다.

3. 시료토의 粒徑이 작을수록 그리고 약액농도가 증가될수록 固結土의 彈性變形係數와 剪斷係數 및 파괴시의 ダイアレン시係數가 크게 나타났다.

4. 고결토의 파괴시축차응력과 변형계수와의 상관관계로 부터 고결토의 개략적인 變形係數推정의 가능성을 확인하였다.

5. C. Caron이 제안한 식 (3)에서 계수  $K$ 를 고결토에 대한 많은 실험자료를 축적하여 보완하고 수정한다면 개략적인 고결토의 일축압축강도추정을 일반화하여 이용할 수 있을 것으로 사료된다.

## 参考文献

- 新日本テクノ(株), “スペースグラウ트工法とその実施例”, 最新の薬液注入工法, No. 5, pp. 68~76.
- 佐野栄, “MT工法とその実施例”, 最新の薬液注入工法, No. 5, pp. 90~97.
- 三木五三郎外, “セメント系急硬材の CCP工法への応用について”, 第11回土質工學研究講演集, 1976, pp. 1105~1108.
- 小川泰平外, “ADG アクアペッパーによる”, 第17回 土質工學研究講演集, 1982, pp. 2501~2504.
- Krizek, R.J., et al., “Effective Stress-Strain Strength Behavior of Silicate-grouted Sand,” proc. of Conference on Grouting in Geotechnical Engineering, ASCE, Vol. 1, 1982, pp. 482~497.
- Krizek, R.J., et al., “Mechanical Behavior of Chemically Grouted Sand,” ASCE, Vol. 108, 1982.
- 加賀宗彦外, “各種水かラス薬液によるホモゲルと固結砂強度の関係について”, 第21回 土質工學研究講演集, 1986, pp. 1823~1824.
- 森麟外, “薬液による固結砂の力学的特性に及ぼす粒度密度の影響”, 第14回 土質工學研究講演集, 1979, pp. 1617~1620.
- James Warner, “Strength Properties of Chemically Solidified Soils,” ASCE, Vol. 98, No. SM 11, 1972, pp. 1163~1185.
- 酒井, 島田, “ソレタシュ注入工法(その7)”, 土木技術, 第28卷, 9号, 1973, pp. 10~19.
- 加賀宗彦, “水かラス系薬液による 固結砂の一軸圧縮強度推定の可能性”, 土と基礎, Vol. 34, No. 8, 1986, pp. 21~26.
- 下田一雄, “水力ラスを主材とした注入材の種類と特長”, 最新の薬液注入工法, No. 7, pp. 12~22.
- Diefenthal, D.C. et al., “Strength and Stiffness of Silicate Grouted Sand with Different Stress Histories”, Geotechnical Testing Journal, Vol. 2, No. 4, 1979, pp. 200~205.
- Davidson, R.R., et al., “Properties of Chemically Grouted Sand at Locks and Dam No. 26,” Proc. of Conference on Grouting in Geotechnical Engineering, ASCE, Vol. 1, 1982, pp. 482~497.
- Clough, G.W., et al., “Silicate-stabilized Sands,” ASCE, Vol. 105, No. GT1, 1979, pp. 65~82.

16. 秦柄益, 千柄植, “藥液注入에 의한 固結土의 工學的 特性”, 大韓土木學會誌, 第28卷, 第6號, 1980 pp. 97~107.
17. 森麟外, “固結土の構造性粘着力”, 第3回土質工學研究講演集, 1968, pp. 11~16.
18. 森麟外, “結合剤による土の強度増加機構”, 第3回 土質工學研究講演集, 1968, pp. 175~179.
19. 森麟外, “固結させた土の 強度に及ぼすダイレイタソナーの役割”, 第6回土質工學研究講演集, 1971, pp. 177~180.
20. 森麟外, “水力ラス薬液により固結した砂の透水係数とダイレイタソナーについて”, 第20回土質工學研究講演集, 1985, pp. 1669~1672.
21. 森麟外, “水力ラス薬液による固結砂の 強度に及ぼす負圧の影響”, 土木學會 第40回 年次學術講演會, 1985, pp. 619~620.
22. 赤木貫一, “水かラス系の 薬液で固結させた砂の非排水強度特性”, 第19回 土質工學研究講演集, 1986 pp. 1603~1604.

(접수일자 1988. 9. 23)